

บทที่ 3

การทำภาพพิมพ์ลายนำ้ดิจิตอลแบบปรับตัวได้โดยใช้เครื่องข่ายประสาทเทียม

3.1 บทนำ

จากความต้องการหลักของการทำภาพพิมพ์ลายนำ้ดิจิตอลทั้งด้านคุณภาพของภาพหลังฟังสัญญาณลายน้ำ และความทนทานของภาพพิมพ์ลายนำ้ดิจิตอลต่อการโจมตีในรูปแบบต่าง ๆ ซึ่งเป็นความต้องการที่มีความขัดแย้งกันในตัว ดังนั้นจึงต้องค้นหาวิธีการทำภาพพิมพ์ลายนำ้ดิจิตอลที่จะสนองความต้องการทั้งสองข้างตันได้เท่า ๆ กัน ทำให้มีการพัฒนาวิธีการทำภาพพิมพ์ลายนำ้ดิจิตอล ออกแบบลายรูปแบบต่าง ๆ กันไป ซึ่งในบทนี้ จะกล่าวถึงการทำภาพพิมพ์ลายนำ้ดิจิตอลโดยการฟังสัญญาณลายนำ้ลงบนภาพที่ได้จากการถ่าย SEM (Scanning electron microscope) โดยเป็นภาพของสารเฟอร์รัลคลอไรด์ ($FeCl_2$) และภาพของสารเฟอร์ริคลอไรด์ ($FeCl_3$) ซึ่งเป็นสารประกอบแร่เหล็กที่มีในน้ำธรรมชาติ บทนี้จะนำเสนอวิธีการฟังสัญญาณลายน้ำ โดยวิธีการกระจายการฟังสัญญาณลายน้ำบนสเปกตรัมความถี่ [5] โดยใช้การแปลงสัญญาณโคลาชันแบบไม่ต่อเนื่อง DCT (Discrete cosine transforms) และได้นำเครื่องข่ายประสาทเทียมที่อาศัยระบบการมองเห็นของมนุษย์ (Human visual system) มาใช้ในการฟังสัญญาณลายนำ้บนภาพด้วย เพื่อตอบสนองความต้องการข้างต้น และในบทนี้ ยังกล่าวถึงผลลัพธ์ที่ได้จากการทดลอง การอภิปรายถึงผลลัพธ์ที่ได้ รวมทั้งบทสรุปที่ได้รับจากงานวิจัยในบทนี้

3.2 วิธีการฟังสัญญาณลายนำ้

การทำภาพพิมพ์ลายนำ้ดิจิตอลที่นำเสนอนี้ ในอัลกอริทึมที่นำเสนอด้วย Cox.et.al. [5] ซึ่งใช้เทคนิคการฟังสัญญาณลายนำ้แบบการกระจายແคนความถี่ (Spread spectrum) โดยอัลกอริทึมการฟังสัญญาณลายนำ้มีดังนี้

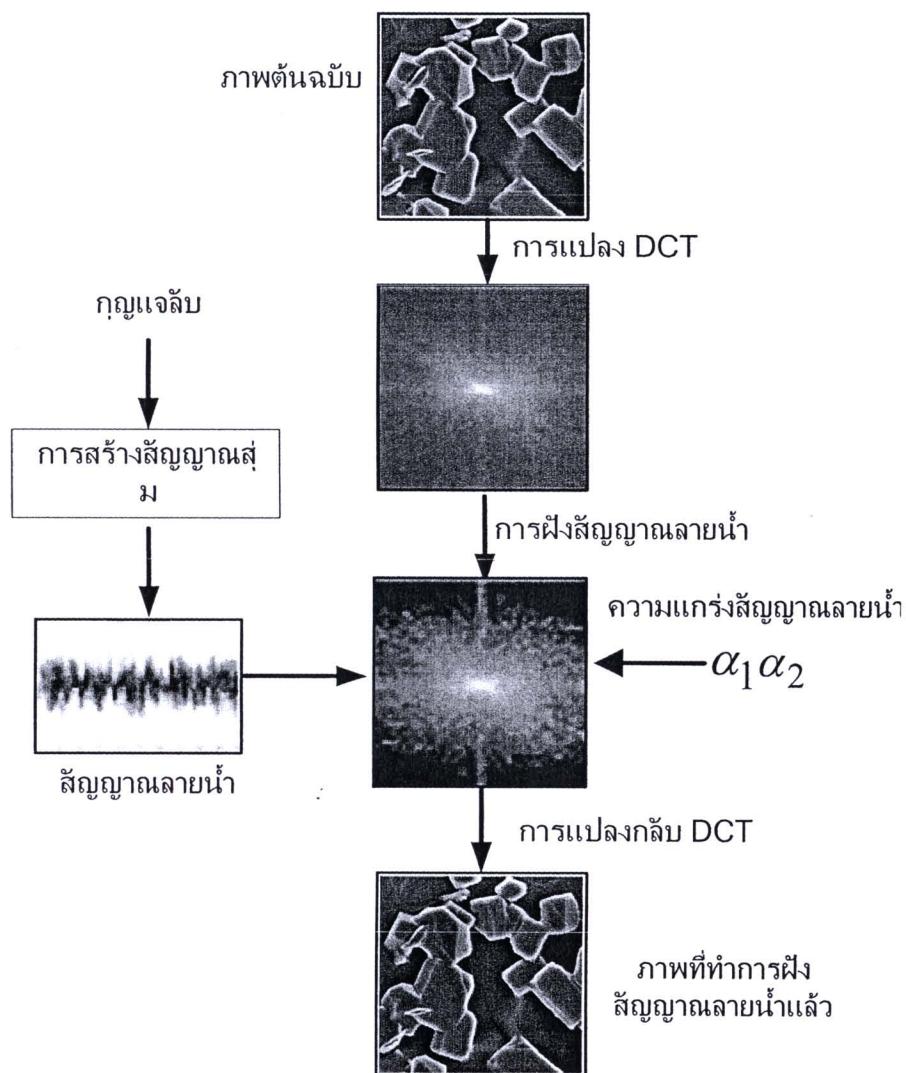
1. ทำการแปลงสัญญาณภาพต้นฉบับด้วยการแปลงสัญญาณโคลาชันแบบไม่ต่อเนื่อง (DCT)
2. ทำการฟังสัญญาณลายนำ้ลงไปในสัมประสิทธิ์การแปลง DCT ตามสมการที่ (3.1)

$$v'_i = v_i(1 + \alpha_k x_i) \quad (3.1)$$

เมื่อ v_i คือ สัมประสิทธิ์การแปลง DCT ลำดับที่ i ของภาพต้นฉบับ

v'_i กือ สัมประสิทธิ์การแปลง DCT ลำดับที่ i ที่ถูกฝังลายน้ำ
 x_i กือ สัญญาณลายน้ำที่ทำการฝังที่ตำแหน่ง i เมื่อ $i = 1, 2, \dots, 1,000$
และ α_k กือค่าความแกร่งของสัญญาณลายน้ำ (Watermark strength) เมื่อ $k = 1, 2$ โดยที่ α_1 จะใช้สำหรับสัมประสิทธิ์การแปลง DCT 500 ตำแหน่งแรกและ α_2 จะใช้สำหรับสัมประสิทธิ์การแปลง DCT ตำแหน่งอีก 500 ที่เหลือ โดยที่ค่าความแกร่งของสัญญาณลายน้ำทั้งสองค่าจะได้มามาจากการหาค่าที่เหมาะสมที่สุดด้วยเครื่องข่ายประสาทเทียมในหัวข้อที่ 3.4

3. ทำการแปลงกลับสัมประสิทธิ์การแปลง DCT เพื่อให้ได้ภาพที่ฝังสัญญาณลายน้ำดิจิตอลเรียบร้อยแล้ว โดยแผนภาพการฝังสัญญาณลายน้ำแสดงไว้ในรูปที่ 3.1

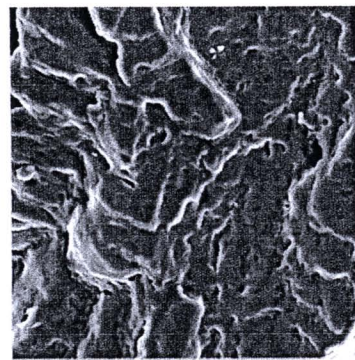


รูปที่ 3.1 แผนภาพการฝังสัญญาณลายน้ำ

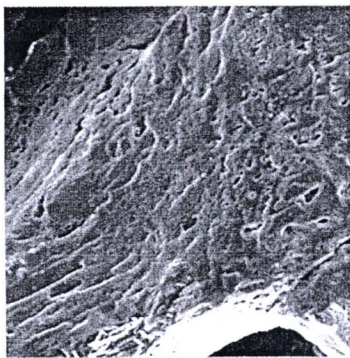
ผู้วิจัยได้ทำการทดสอบอัลกอริทึมการฟังลายน้ำตามสมการ (3.1) เพื่อทดสอบคุณภาพของภาพเอกสารพูดและความทนทานของลายน้ำโดยใช้ภาพต้นฉบับที่ได้จากกล้อง SEM (Scanning electron microscope) ทั้งหมด 4 ภาพโดยเป็นภาพของสารเฟอร์รัสคลอไรด์ (FeCl_2) ซึ่งเป็นเหล็กที่มีในน้ำธรรมชาติและภาพสารเฟอร์ริกคลอไรด์ (FeCl_3) ขนาด 512×512 พิกเซล ดังรูปที่ 3.2(ก), (ง), (ค) และ (จ)



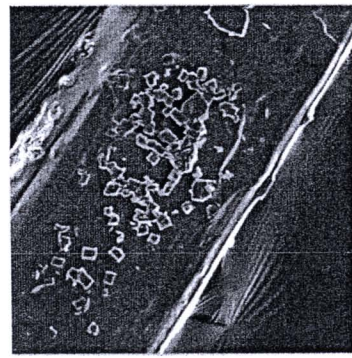
(ก)



(ง)



(ค)



(จ)

รูปที่ 3.2 ภาพต้นฉบับที่ใช้ในการฟังสัญญาณลายน้ำ

งานวิจัยได้ใช้ค่า PSNR (Peak signal-to-noise ratio) ซึ่งเป็นค่ามาตรฐาน ที่นักวิจัยทั่วไปใช้ในการเปรียบเทียบคุณภาพของภาพดิจิตอลที่ผ่านกระบวนการประมวลผลทางสัญญาณใด ๆ กับรูปภาพต้นฉบับ ค่า PSNR ที่สูงจะชี้ให้เห็นถึงคุณภาพของรูปที่ใกล้เคียงกับรูปภาพต้นฉบับ ค่า PSNR นี้ได้ถูกนำมาใช้ในการประเมินคุณภาพของรูปภาพที่ผ่านการฟังสัญญาณลายน้ำมาแล้ว ค่า PSNR สามารถคำนวณหาได้ตามสมการที่ (3.2) และ (3.3)

$$MSE = \frac{1}{N \times N} \sum_{i=0}^{i=N-1} \sum_{j=0}^{j=N-1} (I_{org}(i,j) - I_w(i,j))^2 \quad (3.2)$$

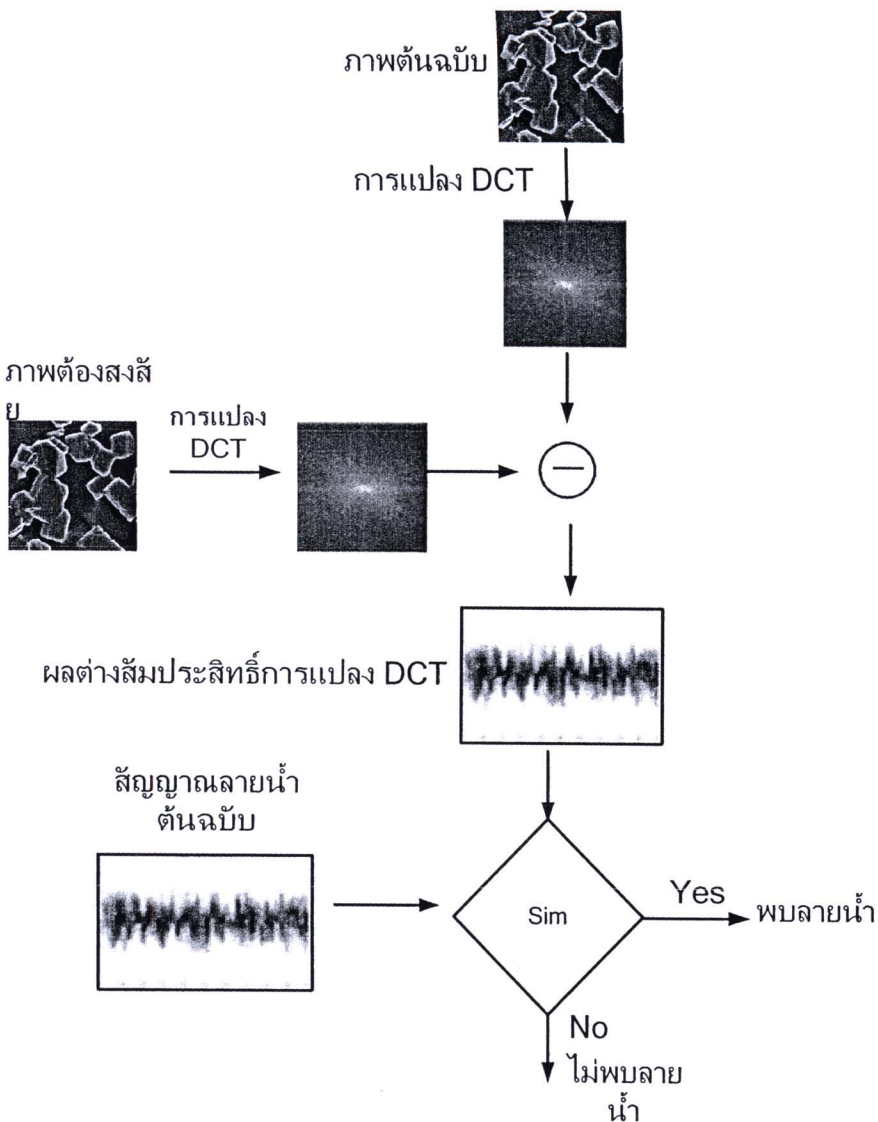
$$PSNR = 10 \log_{10} \left[\frac{255^2}{MSE} \right] \quad (3.3)$$

เมื่อ I_{org} คือ ค่าพิกเซลของภาพต้นฉบับ, I_w คือ ค่าพิกเซลของภาพที่ฝังสัญญาณลายน้ำ และ $N \times N$ คือขนาดของรูปภาพ โดยที่ค่า MSE (Mean square error) สมการที่ (3.2) จะได้จากการคำนวณในทุก ๆ ตำแหน่งของพิกเซลภายในรูปภาพ ทั้งนี้คุณภาพของรูปภาพ ภายหลังกระบวนการฝังสัญญาณลายน้ำจะวัดได้จาก $PSNR$ ซึ่งโดยทั่วไปแล้วค่า $PSNR$ ที่ยอมรับได้สำหรับการใช้งานจริงในทางปฏิบัติควรจะอยู่ระหว่าง 30 - 40 dB [22]

3.3 การตรวจจับสัญญาณลายน้ำ

การตรวจจับสัญญาณลายน้ำเป็นการตรวจหาสัญญาณลายน้ำจากภาพที่อาจจะมีสัญญาณลายน้ำแล้วนำมาเปรียบเทียบกับสัญญาณลายน้ำต้นฉบับ โดยอัลกอริทึมการคุ้กคืนสัญญาณลายน้ำมีดังนี้

1. ทำการแปลงสัญญาณภาพต้อง sang siy ที่อาจมีสัญญาณลายน้ำด้วยการแปลงภาพด้วยสัญญาณโคลาชันแบบไม่ต่อเนื่อง
2. ทำการแปลงสัญญาณภาพต้นฉบับด้วยการแปลงสัญญาณโคลาชันแบบไม่ต่อเนื่อง
3. นำค่าสัมประสิทธิ์ของการแปลงจากภาพจากข้อที่ 1 และข้อที่ 2 มาทำการลบกันจะได้ค่าผลต่างของสัมประสิทธิ์การแปลง DCT ที่อาจมีสัญญาณลายน้ำในภาพต้อง sang siy
4. นำสัญญาณลายน้ำต้นฉบับและสัญญาณลายน้ำที่ตรวจจับได้มาทำการเปรียบเทียบ กันซึ่งขั้นตอนการตรวจจับสัญญาณลายน้ำแสดงในรูปที่ 3.3



รูปที่ 3.3 แผนภาพการตรวจจับสัญญาณลายน้ำ

จากนั้นจะทำการคำนวณหาค่าความเหมือนกัน (Similarity) ของสัญญาณลายน้ำต้นฉบับกับสัญญาณลายน้ำที่ตรวจจับมาได้ด้วยสมการที่ (3.4)

$$sim(X, X^*) = \frac{X^* \cdot X}{\sqrt{X^* \cdot X^*}} \quad (3.4)$$

เมื่อ X^* คือสัญญาณลายน้ำที่ถูกกู้คืนมา และ X คือลายน้ำต้นฉบับ

3.4 การทำภาพพิมพ์ลายน้ำดิจิตอลแบบปรับตัวได้

จากความต้องการหลักของการทำภาพพิมพ์ลายน้ำดิจิตอลที่มีความขัดแย้งกันระหว่างคุณภาพของภาพเอกสารและความทนทานของสัญญาณลายน้ำการที่จะทำให้ได้ความต้องการทั้งสองอย่างพร้อมกันนั้น ผู้วิจัยได้นำเครื่อข่ายประสาทเทียมมาใช้ในการหาค่าความแกร่งของสัญญาณลายน้ำสำหรับภาพแต่ละภาพ ซึ่งมีลักษณะเฉพาะของภาพที่แตกต่างกัน ทั้งนี้เพื่อที่จะทำให้ได้ภาพพิมพ์ลายน้ำที่มีคุณภาพของภาพที่สูงและมีความทนทานที่สุด เครื่อข่ายประสาทเทียมที่เลือกใช้มีสถาปัตยกรรมเป็นแบบมีการเชื่อมโยงไปข้างหน้า คือ Multi-layer feed forward network ซึ่งเป็นเครื่อข่ายประสาทเทียมที่นิยมใช้คู่กับอัลกอริทึมแบบแพร่กลับ (Back propagation) จำนวนโหนดในชั้นแรกจะถูกกำหนดโดยจำนวนตัวแปรพยากรณ์หรืออินพุตในโมเดล ในขณะที่จำนวนโหนดในชั้นผลลัพธ์หรือเอกสารพูดเท่ากับจำนวนผลลัพธ์ที่ต้องการในโมเดล สิ่งสำคัญในการสร้างโมเดลคือการเลือกจำนวนโหนดและฟังก์ชันการแปลง (Transfer function) โดยโครงสร้างของประสาทเทียมที่ใช้จะมีทั้งหมด 4 เลเยอร์ประกอบด้วยเลเยอร์อินพุต (Input Layer) 1 เลเยอร์ เลเยอร์ซ่อน (Hidden Layer) 2 เลเยอร์ และเลเยอร์เอกสารพูด (Output Layer) 1 เลเยอร์ โดยฟังก์ชันการแปลงของเลเยอร์ซ่อน คือ Tan-sigmoid function และสำหรับฟังก์ชันการแปลงของเลเยอร์เอกสารพูด คือ Log-sigmoid function โดยอินพุตของเครื่อข่ายประสาทเทียมคือค่าโครงสร้างลักษณะเฉพาะของภาพโดยโครงสร้างเฉพาะของภาพทั้ง 5 ได้แก่

- (1) ค่าเชิงมุมที่สองของภาพ (Q_1) (Angular second moment) คำนวณได้ตามสมการที่ (3.5) ดังนี้

$$Q_1 = \sum_{i,j} (Co(i,j))^2 \quad (3.5)$$

- (2) ค่าความเปรียบต่างของภาพ (Q_2) (Contrast) คำนวณได้ตามสมการที่ (3.6) ดังนี้

$$Q_2 = \sum_{i,j} (i-j)^2 \cdot Co(i,j) \quad (3.6)$$

- (3) ค่าความสัมพันธ์กันของภาพ (Q_3) (Correlation) คำนวณได้ตามสมการที่ (3.7) ดังนี้

$$Q_3 = \frac{\sum_{i,j} ijCo(i,j) - m_x \cdot m_y}{S_x \cdot S_y} \quad (3.7)$$

$$\text{เมื่อ } m_x = \sum_i \sum_j Co(i,j) , \quad m_y = \sum_j \sum_i Co(i,j) ,$$

$$S_x^2 = \sum_i i^2 \sum_j Co(i,j) - m_x^2 , \quad S_y^2 = \sum_j j^2 \sum_i Co(i,j) - m_y^2$$

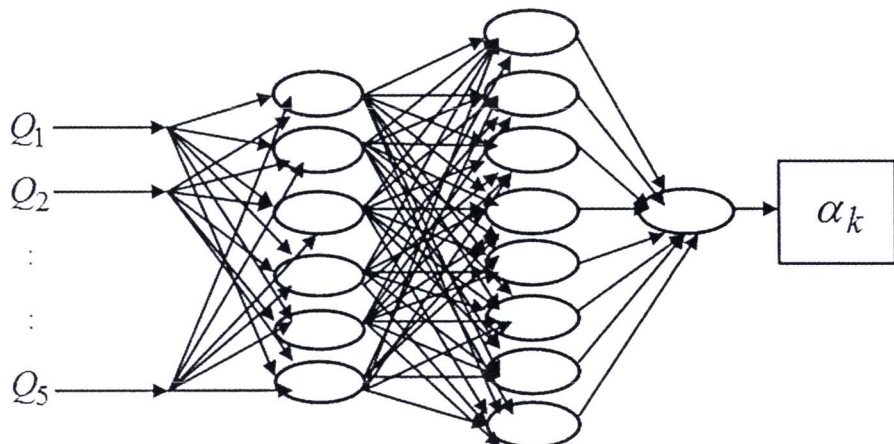
(4) ค่าเออนโโทรปีของภาพ (Q_4) (Entropy) คำนวณได้ตามสมการที่ (3.8) ดังนี้

$$Q_4 = - \sum_{i,j} Co(i,j). \log(Co(i,j)) \quad (3.8)$$

(5) ค่าเฉลี่ยของภาพ (Q_5) (Mean) คำนวณได้ตามสมการที่ (3.9) ดังนี้

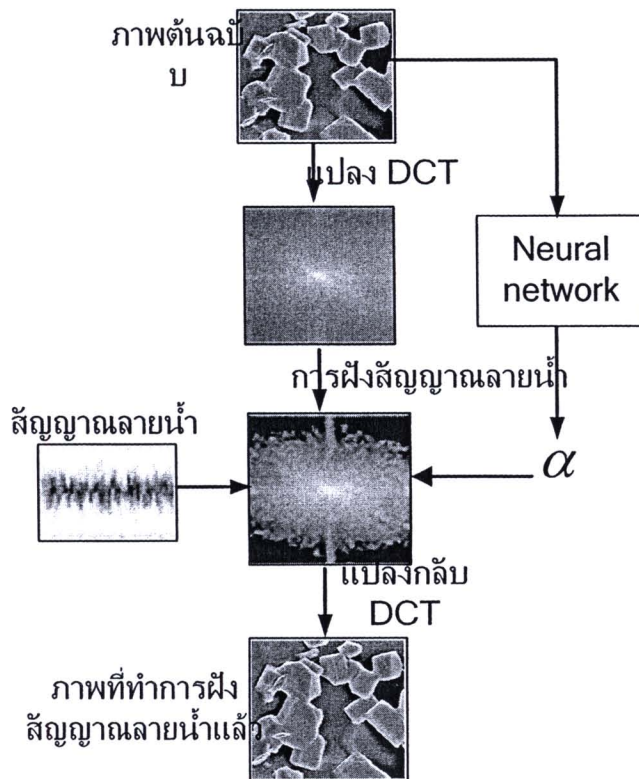
$$Q_5 = \frac{\sum_{i,j} Co(i,j)}{i \times j} \quad (3.9)$$

เอกสารที่ได้คือ ค่าความแกร่งของสัญญาณลายน้ำ ที่มีความเหมาะสมที่สุดโดยโครงสร้างของโครงข่ายประสาทเทียมที่ทดลองใช้แสดงในรูปที่ 3.4



รูปที่ 3.4 โครงสร้างโครงข่ายประสาทเทียม

ซึ่งเครือข่ายประสาทเทียมจะนำไปใช้ในขั้นตอนของการฟิล์ฟสัญญาณลายน้ำ โดยก่อนที่จะทำการฟิล์ฟสัญญาณลายน้ำจะนำภาพที่เป็นภาพต้นฉบับ ส่งไปให้เครือข่ายประสาทเทียมหาค่าความแกร่งของสัญญาณลายน้ำที่เหมาะสมที่สุดต่อรูปภาพนั้น ๆ เมื่อได้ค่าความแกร่งสัญญาณลายน้ำแล้วก็ทำการฟิล์ฟสัญญาณลายน้ำตามขั้นตอนต่อไป ซึ่งกระบวนการฟิล์ฟสัญญาณลายน้ำที่ประยุกต์ใช้เครือข่ายประสาทเทียม แสดงได้ดังรูปที่ 3.5



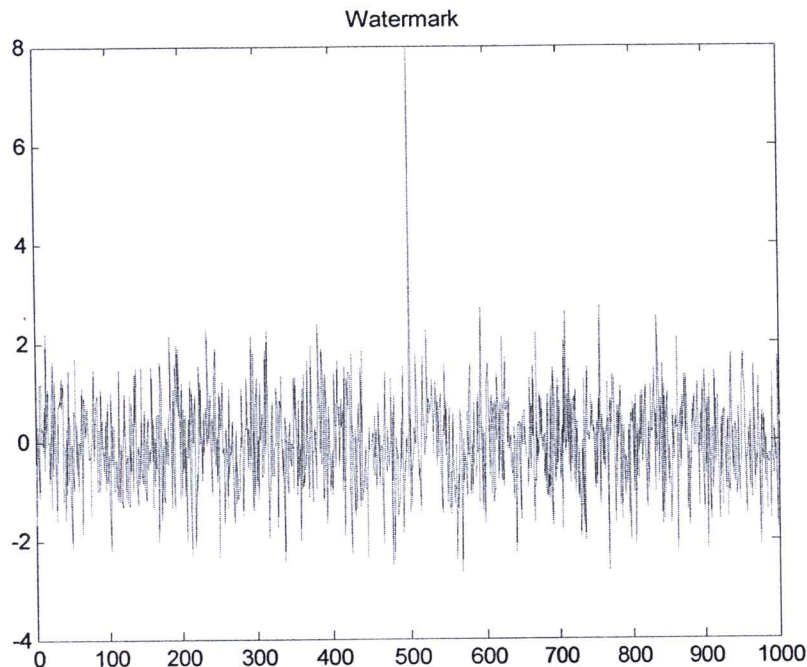
รูปที่ 3.5 แผนภาพการฝังสัญญาณลายน้ำที่ประยุกต์ใช้เครือข่ายประสาทเทียม

3.5 ผลการทดสอบ

การทดสอบประสิทธิภาพของอัลกอริทึมที่นำเสนอ จะทำการทดสอบคุณภาพของภาพที่ถูกฝังสัญญาณลายน้ำโดยการคำนวณค่า $PSNR$ ตามสมการที่ (3.2) และทำการทดสอบความทนทานของสัญญาณลายน้ำโดยทำการคำนวณค่า sim ตามสมการที่ (3.4) การโอนตีสัญญาณลายน้ำภายหลังการฝังสัญญาณลายน้ำโดยวิธีการต่าง ๆ เช่น Median filter, Gaussian noise, Low pass filter และ JPEG compression

ข้อมูลภาพดิจิตอลที่ใช้ในการทดสอบเป็นภาพระดับเทาจากกล้อง SEM (Scanning electron microscope) โดยมีขนาด 512×512 พิกเซล จำนวน 4 ภาพ ดังแสดงไว้ในรูปที่ 3.1 สัญญาณลายน้ำที่ใช้ในการทดสอบ เป็นสัญญาณลายน้ำที่ได้จากการสุ่มจากการแจกแจงปกติ (Normal distribution) $N(0,1)$ ด้วยค่าเฉลี่ย 0 และค่าความแปรปรวนเท่ากับ 1 ทั้งหมดจำนวน 1,000 ค่า ดังแสดงไว้ในรูปที่ 3.6 ผลลัพธ์ที่ได้จากการทดสอบจะนำมาทำการเปรียบเทียบกับวิธีที่นำเสนอโดย Cox et al. (1997) [5] โดยวิธีการของ Cox et al. ใช้ค่าความแกร่งสัญญาณลายน้ำคงที่เท่ากับ 0.1 แต่วิธีการที่นำเสนอจะมีค่า

ความแกร่งสัญญาณลายน้ำ (α_k) ปรับเปลี่ยนตามคุณลักษณะเฉพาะของภาพ SEM ที่ใช้ในการทดสอบ



รูปที่ 3.6 สัญญาณลายน้ำ

3.5.1 ผลการทดสอบคุณภาพของภาพที่ฝังสัญญาณลายน้ำ

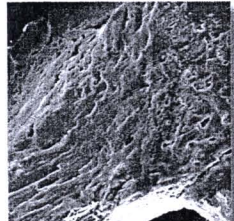
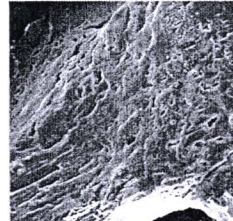
ในขั้นตอนการทดสอบได้ทำการฝังสัญญาณลายน้ำบนภาพ SEM ทั้งสีภาพ จากนั้นทำการคำนวณค่า $PSNR$ ของทั้งสีภาพตามสมการที่ (3.2) เพื่อใช้เป็นตัวชี้วัดคุณภาพของภาพหลังจากฝังสัญญาณลายน้ำ จากนั้นทำการเปรียบเทียบกับค่า $PSNR$ จากงานวิจัยของ Cox et al.[5] ที่ใช้ค่า α คงที่เท่ากับ 0.1 ผลการเปรียบเทียบได้แสดงในตารางที่ 3.1 ซึ่งจะเห็นได้ว่าค่า $PSNR$ ของวิธีการที่นำเสนอสูงกว่างานวิจัยที่นำมาเปรียบเทียบโดยมีค่าเพิ่มขึ้นประมาณ 6 dB ภาพที่ผ่านการฝังสัญญาณลายน้ำของวิธีการที่นำเสนอเปรียบเทียบกับงานวิจัยของ Cox et al.[5] แสดงไว้ในตารางที่ 3.2

ตารางที่ 3.1 ค่า $PSNR$ ของภาพที่ฝังสัญญาณลายน้ำแล้ว

ภาพ	วิธีการที่นำเสนอ			วิธีการ Cox <i>et al.</i> [5]	
	α_1	α_2	$PSNR$ (dB)	α	$PSNR$ (dB)
SEM_image1	0.05	0.09	39.95	0.1	34.43
SEM_image2	0.05	0.08	39.37	0.1	33.61
SEM_image3	0.05	0.09	36.70	0.1	30.78
SEM_image4	0.05	0.08	40.07	0.1	34.23
ค่าเฉลี่ย $PSNR$			39.02		

ตารางที่ 3.2 ภาพที่ผ่านการฝังสัญญาณลายน้ำของวิธีการที่นำเสนอเปรียบเทียบกับงานวิจัยของ Cox et al.

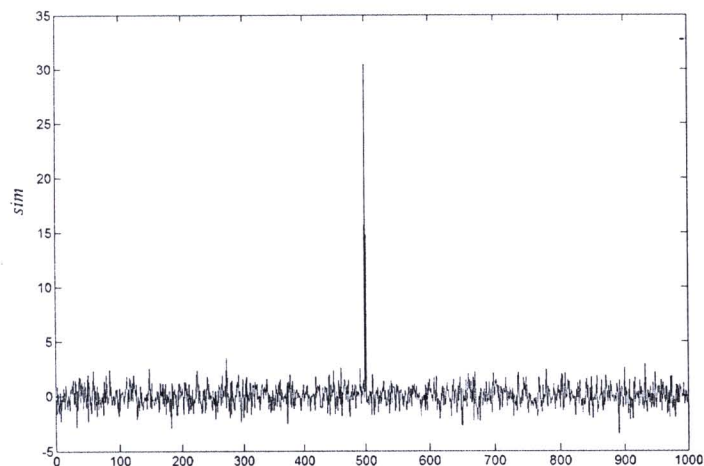
ภาพ	ภาพที่ฝังสัญญาณลายน้ำ	
	วิธีการที่นำเสนอ	วิธีการ Cox <i>et al.</i> [5]
SEM_image1	 $PSNR = 39.95$ (dB)	 $PSNR = 34.43$ (dB)
SEM_image2	 $PSNR = 39.37$ (dB)	 $PSNR = 33.61$ (dB)

SEM_image3		
SEM_image4		

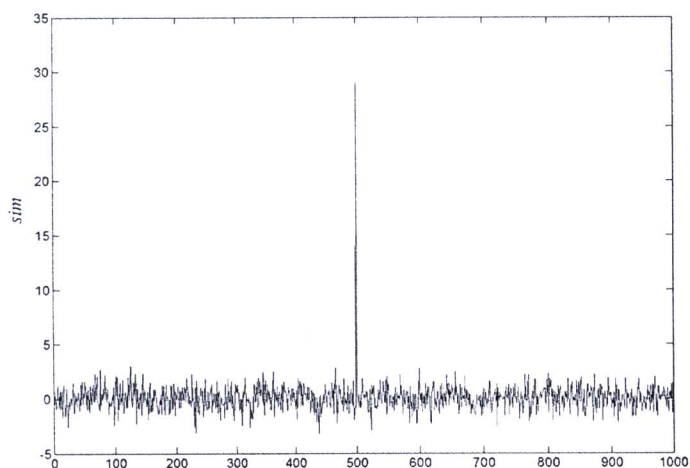
3.5.2 ผลการทดสอบความทนทานของสัญญาณลายน้ำ

เพื่อที่จะตรวจสอบว่าสัญญาณลายน้ำมีความทนทานมากหรือน้อยเพียงใดต่อการโจนตี ผู้วิจัยจึงได้กำหนดวิธีการโจนตีรูปภาพที่ผ่านการฟังสัญญาณลายน้ำ โดยใช้วิธีการต่าง ๆ เช่น ตัวกรองข้อมูลภาพโดยใช้ค่ามัธยฐาน (Median filter) การเพิ่มสัญญาณรบกวนแบบเกาช์เชียน (Gaussian noise) เป็นต้น รูปที่ 3.7 แสดงภาพ SEM_image1 ภายหลังจากถูกโจนตีด้วยวิธีต่าง ๆ และ กราฟแสดงผลการคำนวณค่า sim ของการโจนตี โดยตำแหน่งที่ 500 แสดงการคำนวณค่า sim ของสัญญาณลายน้ำที่ตรวจจับ ได้กับสัญญาณลายน้ำต้นฉบับ ส่วนตำแหน่งอื่น ๆ แสดงผลการคำนวณค่า sim ของสัญญาณลายน้ำต้นฉบับกับสัญญาณลายน้ำจากการสุ่ม โดยใช้รหัสลับที่ไม่ตรงกับรหัสในการสุ่มของระบบ ซึ่งจะพบว่าให้ค่า sim ที่ต่ำมาก ในขณะที่ตำแหน่งที่ 500 ให้ค่า sim ที่สูงกว่ามาก ซึ่งแสดงให้เห็นถึงประสิทธิภาพที่ดีของตัวตรวจจับสัญญาณลายน้ำ

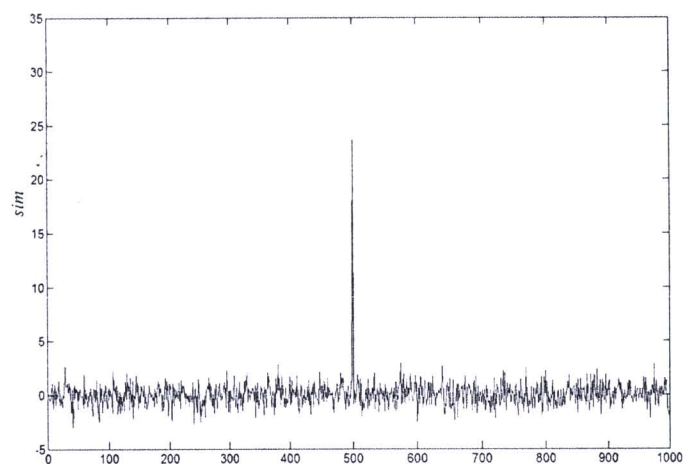
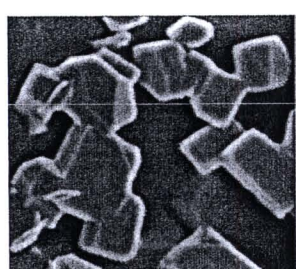




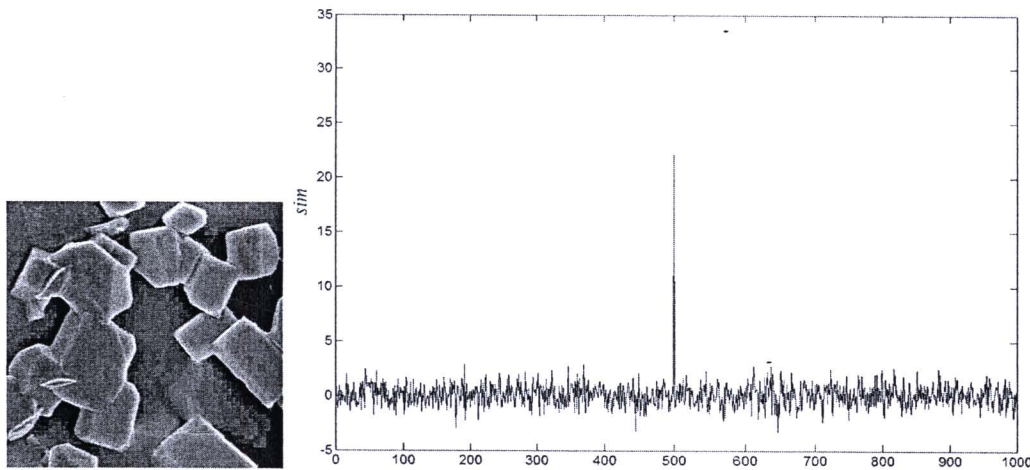
(ก) ภาพและกราฟค่า sim ที่ผ่านการโจนตีด้วยตัวกรองข้อมูลภาพโดยใช้ค่ามัธยฐาน



(ข) ภาพและกราฟค่า sim ที่ผ่านการโจนตีด้วยการเพิ่มสัญญาณรบกวนแบบเกาช์เชียน



(ค) ภาพและกราฟค่า sim ที่ผ่านการโจนตีด้วยตัวกรองความถี่ต่อผ่าน

(๔) ภาพและค่า sim ที่ผ่านการ โจนตีด้วย JPEG lossy compression ที่ 10%รูปที่ 3.7 ภาพและกราฟค่า sim ที่ผ่านการ โจนตีด้วยวิธีการ (ก) Median filter (ข) Gaussian noise (ค)
Low pass filter (ง) JPEG lossy compression ที่ 10%

จากผลการทดลองที่ได้จะเห็นอย่างชัดเจนว่าเมื่อภาพผ่านการ โจนตีด้วยวิธีการต่าง ๆ แล้ว คุณภาพของภาพจะถูกลดลงแตกต่างกันตามชนิดของการ โจนตีแต่สัญญาณลายน้ำยังสามารถตรวจจับได้ ตารางที่ 3.3 แสดงการเปรียบเทียบค่า sim ของภาพ SEM_image1 ที่ไม่ผ่านการ โจนตี และผ่านการ โจนตีด้วยการบีบอัดสัญญาณภาพด้วย JPEG compression ที่ค่าคุณภาพ 10% โดยแสดงค่า sim เนื่องจากสัญญาณลายน้ำที่ได้จากการใช้ α_1 เท่ากับ 0.05 และ α_2 เท่ากับ 0.08 และ 0.09 ในการทำการ โจนตีด้วยวิธีการต่าง ๆ ดังแสดงในตารางที่ 3.4

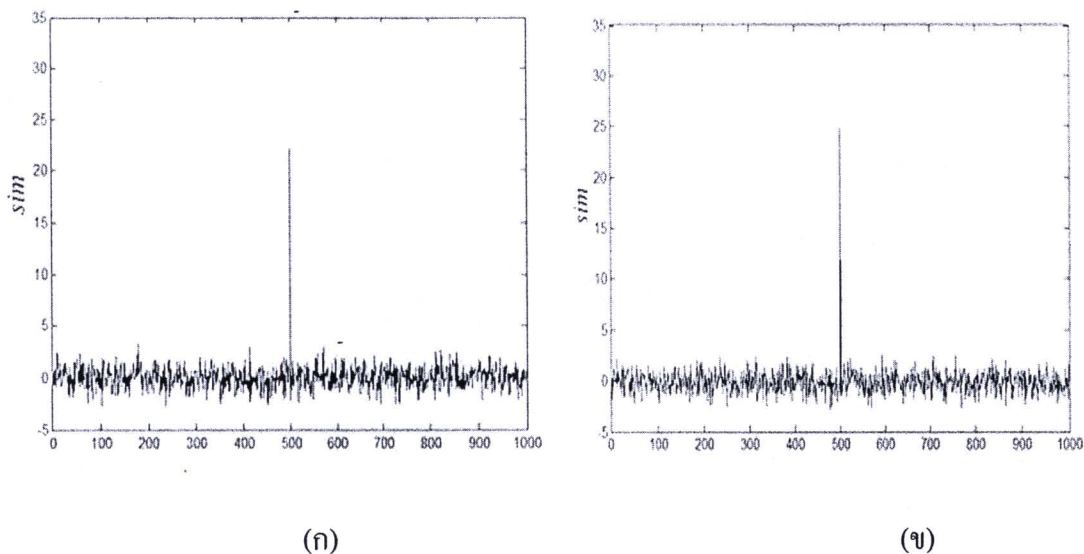
ตารางที่ 3.3 เปรียบเทียบค่า sim ของภาพ SEM_image1 ที่ไม่ผ่านการ โจนตีและผ่านการ โจนตีด้วย การบีบอัดสัญญาณด้วย JPEG compression ที่ค่าคุณภาพ 10%

ภาพ	วิธีการ โจนตี	sim	
		วิธีการที่นำเสนอ	วิธีการ Cox et al. [5]
SEM_image1 $\alpha_1 = 0.05$ $\alpha_2 = 0.09$	No Attack	30.91	30.91
	JPEG compression 10%	22.43	24.76

ตารางที่ 3.4 ค่า sim เนื่องของภาพ 4 ภาพที่ได้จากการใช้ค่า α_1 เท่ากับ 0.05 และ α_2 เท่ากับ 0.08 และ 0.09 เมื่อผ่านการโฉนดแบบต่าง ๆ

วิธีการโฉนด	sim	
	วิธีการที่นำเสนอด้วย	วิธีการ Cox et al. [8]
ไม่มีการโฉนด	30.91	30.91
Median filter 3×3	30.40	30.65
Gaussian noise 0.001	28.93	29.58
Low pass filter 3×3	23.64	23.69
JPEG 10%	22.06	24.76
JPEG 25%	28.54	29.67
JPEG 50%	30.25	30.51
JPEG 75%	30.72	30.71
JPEG 90%	30.85	30.77

จากรูปที่ 3.8 แสดงกราฟการเปรียบเทียบค่า sim ของสัญญาณลายน้ำที่ผ่านการบีบอัดสัญญาณด้วย JPEG compression 10% ของวิธีการที่นำเสนอและวิธีการของ Cox et al. ซึ่งจะเห็นว่าค่า sim ของสัญญาณลายน้ำที่ตัวแทน 500 ยังคงสามารถตรวจจับได้ทั้งสองวิธี ซึ่งแสดงให้เห็นว่าทั้งสองวิธีมีความทนทานต่อการโฉนดด้วย JPEG compression ที่ใกล้เคียงกัน



รูปที่ 3.8 เปรียบเทียบค่า sim ระหว่าง (ก) ภาพที่ผ่านการโจมตีด้วย JPEG compression 10% ของวิธีการที่นำเสนอด้วย และ (ข) ภาพที่ผ่านการโจมตีด้วย JPEG compression 10% ของวิธีการ Cox *et al.*[5]

3.6 ສຽງ

บทนี้ได้นำเสนอการฝังสัญญาณลายน้ำสำหรับภาพจากกล้อง SEM ด้วยเทคนิคการฝังสัญญาณลายน้ำแบบกระจายแฉ่งความถี่โดยใช้การแปลง DCT เพื่อทำการแปลงภาพจากโดเมนเชิงพื้นที่เป็นโดเมนความถี่และได้นำทฤษฎีระบบการมองเห็นของมนุษย์มาใช้เป็นตัวคัดแยกความแตกต่างของภาพอินพุตให้กับเครื่องข่ายประสาทเทียมเพื่อทำการเรียนรู้และปรับค่าความแกร่งของสัญญาณลายน้ำให้เหมาะสมที่สุดกับภาพนั้น ๆ ผลจากการทดลองฝังลายน้ำลงบนภาพ SEM ที่แตกต่างกันทั้งสี่ภาพพบว่าวิธีการที่นำเสนอมี PSNR ที่สูงขึ้นและมีความทนทานต่อการถูกโจรกรรมต่าง ๆ ใกล้เคียงกับวิธีการเดิม